

รายการอ้างอิง



ภาษาไทย

- โดทม อารีธา. การคุมค่าความเร็วมอเตอร์. เอกสารประกอบการเรียนวิชาการขับ
เคลื่อนมอเตอร์, กทม. : ภาควิชาวิศวกรรมไฟฟ้า จุฬาลงกรณ์มหาวิทยาลัย,
2532.
- เอกชัย ลีลาวัฒน์. คู่มือการใช้ Lec 5.0 โปรแกรมสำหรับวิเคราะห์วงจรรีเลย์อิเล็กทรอนิกส์
เชิงเส้นแบบก่อน. กทม. : ภาควิชาวิศวกรรมไฟฟ้า จุฬาลงกรณ์มหาวิทยาลัย,
2530.

ภาษาอังกฤษ

- Bird, B. M., and King, K. G. An Introduction to Power Electronics.
New York: John Wiley & Sons, 1985.
- Cho, B. H., Fred C. Y. Lee, Measurement of Loop Gain with the Digital
Modulator. IEEE Transaction on Power Electronics, vol. PE-1
no.1, January, 1986.
- Chrysis, G. High Frequency Switching Power Supplies:
Theory and Design. New York: McGraw-Hill Book Company, 1984.
- Daniel M. Mitchell, An Analytical Investigation of Current-Injected
Control for Constant-Frequency Switching Regulator. IEEE
Transaction on Power Electronics, vol. PE-1 no.3, July, 1986.
- _____. DC-DC Switching Regulator Analysis. New York:
McGraw-Hill Book Company, 1988.
- Dewan, S. B., Slemon, G. R., and Straughen, A. Power Semiconductor
Drives. Toronto: John Wiley & Sons, 1984.
- Kieth H. Billing, Handbook of Switchmode Power Supplies. New York:
McGraw-Hill Publishing Company, 1989.
- Math CAD manual, Massachusetts: Math Soft Inc., 1987.
- Middlebrook, R. D., and Slobodan Cuk, Advance in Switched- Mode
Power Conversion. 3 vols. California: Tesla Co., 1981.

- Middlebrook, R. D. Topics in Multiple Loop Regulator and Current-Mode Programming. IEEE Transaction on Power Electronics, vol. PE-2 no.2, April, 1987.
- _____. Modelling Current-Programmed Buck and Boost Regulator. IEEE Transaction on Power Electronics, vol.4 no.1 January, 1989.
- Motorola Inc. Rectify and Zener Diode Data. 1984.
- Ralph E. Tarter, Principles of Solid-State Power Conversion. Indiana: Howard W. Sams & Co., 1985.
- Riley B. Raymond, Cho B. H., and Fred C. Y. Lee, Analysis and Interpretation of Loop Gains of Multiloop-Controlled Switching Regulator. IEEE Transaction on Power Electronics, vol.3 no.4, October, 1988.
- Rudd P. Severns, and Gordon Bloom (Ed), Modern DC-TO-DC Switchmode Power Converter Circuit, New York: Van Nostrand Reinhold Company, 1984.
- Siemens, Ferrite Data Book. 1986.
- TUTSIM Manual, California: Applied i, 1986.
- William H. Hayt, Jr. Engineering Electromagnetics. Fourth edition. Singapore: McGraw-Hill Book Company, 1985.

ศูนย์วิทยทรัพยากร
จุฬาลงกรณ์มหาวิทยาลัย



ภาคผนวก

ศูนย์วิจัยทรัพยากร
จุฬาลงกรณ์มหาวิทยาลัย

ภาคผนวก ก.

List โปรแกรม TUTSIM

1. จำลองการทำงานของชุดวงจรแปลงผันไฟตรง-ไฟตรงเมื่อทำงานในภาคกระแส

	1	TIM				
49.998E+3	2	GAI	1			
	3	FIX	2			
	4	SUM	2	-3		;sawtooth
-1.0000	5	CON				
1.0000	6	CON				
0.45000	7	REL	5	5	6	;clock
			4			
	8	NAN	7	10		;output Q
1.0000	9	ADL	8			
	10	NAN	8	35		;complement output Q
	11	AND	8	7		;duty cycle to switch
1.0000	12	ADL	11			
0.1000	13	CON				
11.0000	14	CON				
1.0000	15	REL	14	14	13	;switch
			12			
10.0000	16	GAI				
0.0000	17	LIM	16			;input voltage
103.3300						
4.4440	20	CON				
	21	MUL	4	20		;compensating ramp
10.0000	30	CON				;command

-10.0000	31	LIM	30	-21	;command sub by ramp
10.0000					
	32	SUM	31	-34	;compare current
999.980E+3	33	GAI	32	36	
2.0000	34	ATT	40		;attenuate IL
-9.1000	35	LIM	33		
9.1000					
510.0000	36	ATT	37		
0.0000	37	ADL	35		
500.0000	40	FIO	17	-41	;inductor current
0.50000					
0.00000					
0.4000C	41	PID	40	-43	;output voltage
264.000e-6					
0.00000					
1.0000					
0.0000					
0.0000					
1.0000	42	ATT	41		;output current
0.0000	43	ADL	42		

2. จำลองการทำงานของระบบที่ได้จากการขนานเมื่อทำงานในแรงดัน

	1	TIM			
49.998E+3	2	GAI	1		
	3	FIX	2		
	4	SUM	2	-3	;sawtooth
-1.0000	5	CON			
1.0000	6	CON			
0.45000	7	REL	5	5	6 ;clock
			4		
	8	NAN	7	10	;output Q (module 1)

1.0000	9	ADL	8		
	10	NAN	8	35	;complement output Q
	11	AND	8	7	;duty cycle to switch
1.0000	12	ADL	11		
0.1000	13	CON			
11.0000	14	CON			
1.0000	15	REL	14	14 13	;switch
				12	
10.0000	16	GAI	15		
0.0000	17	LIM	16		;input voltage
103.3300					
4.4440	20	CON			
	21	MUL	4	20	;compensating ramp
-10.0000	31	LIM	55	-21	;command sub by ramp
10.0000					
	32	SUM	31	-34	;compare current
999.980E+3	33	GAI	32	36	
2.0000	34	ATT	40		;attenuate IL
-9.1000	35	LIM	33		
9.1000					
510.0000	36	ATT	37		
0.0000	37	ADL	35		
500.0000	40	FIO	17	-41	;inductor current
0.50000					
0.00000					
0.40000	41	PID	40	140 240	;output voltage
264.000e-6				-43	
0.00000					
1.0000					
0.0000					
0.0000					

0.6670 42 FIO 41 ;output current
 667.00E-6
 0.0000
 0.0000 43 ADL 42
 7.9000 50 ATT 41
 5.8000 51 CON
 4.9000 52 GAI 50 -51 ;P regulator
 735.000e-06 53 GAI 52
 0.0000 54 LMI 53 ;I regulator
 -11.0000
 11.0000
 -11.0000 55 LIM 52 54 ;command from PI reg.
 108 NAN 7 110 ;output Q (module 2)
 1.0000 109 ADL 108
 110 NAN 108 135 ;complement output Q
 111 AND 108 7 ;duty cycle to switch
 1.0000 112 ADL 111
 1.0000 115 REL 14 14 13 ;switch
 112
 10.0000 116 GAI 115
 0.0000 117 LIM 116 ;input voltage
 103.3300
 -10.0000 131 LIM 55 -21 ;command sub by ramp
 10.0000
 132 SUM 31 -134 ;compare current
 999.980E+3 133 GAI 132 136
 2.0000 134 ATT 140 ;attenuate IL
 -9.1000 135 LIM 133
 9.1000
 510.0000 136 ATT 137
 0.0000 137 ADL 135

```

500.0000      140 FIO  117 -41      ;inductor current
0.50000
0.00000
                208 NAN   7  210      ;output Q (module 3)
1.0000      209 ADL  208
                210 NAN  208 235      ;complement output Q
                211 AND  208  7      ;duty cycle to switch
1.0000      212 ADL  211
1.0000      215 REL  14  14  13      ;switch
                212
10.0000     216 GAI  215
0.0000      217 LIM  216      ;input voltage
103.3300
-10.0000    231 LIM  55 -21      ;command sub by ramp
10.0000
                232 SUM  31 -234      ;compare current
999.980E+3  233 GAI  232 236
2.0000      234 ATT  240      ;attenuate IL
-9.1000     235 LIM  233
9.1000
510.0000    236 ATT  237
0.0000      237 ADL  235
500.0000    240 FIO  217 -41      ;inductor current
0.50000
0.00000

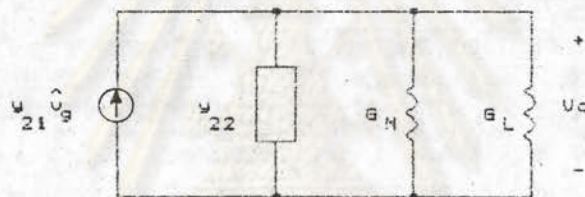
```


ภาคผนวก ข.

การคำนวณ

1. การคำนวณหา line current regulation

การคำนวณหา line current regulation นี้ จะหาทั้งกรณี $\pm 10\%$ ของแรงดันไฟฟ้ากระแสสลับปกติ (220 โวลต์) โดยแรงดันออกมีค่าคงที่ 30 โวลต์ การคำนวณจะหาจากแบบจำลองของวงจรแปลงผันไฟตรง-ไฟตรง ดังได้กล่าวมาแล้วในหัวข้อที่ 2.3 ซึ่งมีแบบจำลองดังในรูปที่ ผ.1 โดยคำนึงถึงเฉพาะที่ความถี่ต่ำ ทำให้ละเลยตัวเก็บประจุด้านขาออก



รูปที่ ผ.1 วงจรของแบบจำลองที่ใช้ในการคำนวณหา line current regulation

$$\Delta(y_{21} v_g) = V_o \cdot (\Delta y_{22} + \Delta G_N)$$

$$y_{21} \Delta v_g + v_g \Delta y_{21} = V_o \Delta y_{22} + V_o \Delta G_N \quad (\text{ผ.1})$$

พจน์ $v_g \Delta y_{21}$ ละเลยทิ้งเนื่องจาก Δy_{21} มีการเปลี่ยนแปลงน้อยมาก เนื่องจากการเปลี่ยนแปลงเป็นช่วงกว้าง ดังนั้น จึงทำการอินทิเกรตสมการ (ผ.1) จะได้

$$\int_{v_{g1}}^{v_{gf}} y_{21}(v_g) dv_g = V_o \int_{y_{221}}^{y_{22f}} dy_{22} + V_o \int_0^{G_N} dG_N$$

$$G_N = \frac{1}{V_o} \left[\int_{v_{g1}}^{v_{gf}} y_{21}(v_g) dv_g - V_o \int_{y_{221}}^{y_{22f}} dy_{22} \right]$$

กรณีการเปลี่ยนแปลงของ +10%

$$V_{s1} = 96.6 \quad V$$

$$V_{st} = 106.2 \quad V$$

$$y_{221} = 0.123 \quad S$$

$$y_{22f} = 0.123 \quad S$$

$$G_N = 0.006 \quad S$$

ดังนั้น การเปลี่ยนแปลงกระแสออกเนื่องจากการเปลี่ยนแปลงแรงดันขาเข้า +10% มีค่าเท่ากับ 0.18 แอมแปร์ สำหรับทุกค่าแรงดันคำสั่งกระแส

กรณีการเปลี่ยนแปลงของ -10%

$$V_{s1} = 96.6 \quad V$$

$$V_{sf} = 87 \quad V$$

$$y_{221} = 0.123 \quad S$$

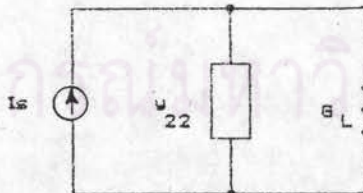
$$y_{22f} = 0.123 \quad S$$

$$G_N = -0.007 \quad S$$

ดังนั้น การเปลี่ยนแปลงกระแสออกเนื่องจากการเปลี่ยนแปลงแรงดันขาเข้า -10% มีค่าเท่ากับ 0.21 แอมแปร์ สำหรับทุกค่าแรงดันคำสั่งกระแส

2. การคำนวณหา load current regulation

การคำนวณหา load current regulation เมื่อมีการเปลี่ยนแปลงแรงดันออก จาก 0 โวลต์ เป็น 30 โวลต์ โดยมีวงจรดังรูปที่ ผ.2 โดยคำนึงถึงเฉพาะค่าไฟตรง ทำให้ ละเลยตัวเก็บประจุด้านขาออก



รูปที่ ผ.2 วงจรของแบบจำลองที่ใช้ในการคำนวณหา load current regulation

จากรูปวงจรจะได้

$$dI_o = y_{22}(v_o) dv_o$$

$$I_o = \int_0^{30} y_{22}(v_o) dv_o$$

$$I_o = 4.5 \text{ แอมแปร์}$$

ดังนั้น การเปลี่ยนแปลงกระแสเนื่องจากการเปลี่ยนแปลงโวลต์ จาก 0 โวลต์ เป็น 30 โวลต์ มีค่า 4.5 แอมแปร์ สำหรับทุกค่าแรงดันคำสั่งกระแส

3. การคำนวณหาการกระเพื่อมของกระแสในตัวเหนี่ยวนำ และการกระเพื่อมของแรงดันออก

การคำนวณหาการกระเพื่อมของกระแสในตัวเหนี่ยวนำ และการกระเพื่อมของแรงดันออกได้จากสมการ (3.13) และ (3.17)

จากสมการ (3.13)

$$L = \frac{[(1-D) \times V_o]}{[\Delta I_L \times f]}$$

$$\Delta I_L = \frac{[(1-D) \times V_o]}{[L \times f]} \quad (\text{ผ.2})$$

$$\text{โดยที่ } D = \frac{V_o}{V_s}$$

$$\text{จะได้ } \Delta I_L = \frac{(V_o - V_o^2 / V_s)}{L \cdot f} \quad (\text{ผ.3})$$

และจากสมการ (3.17)

$$C = \frac{\Delta I_L}{(8 \times \Delta V_o \times f)}$$

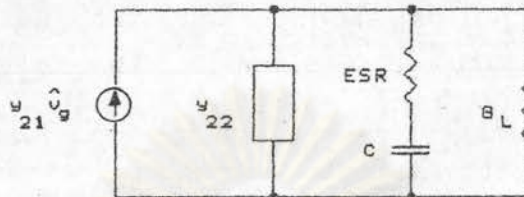
$$\Delta V_o = \frac{\Delta I_L}{8 \times C \times f} \quad (\text{ผ.4})$$

แทนค่าสมการ (ผ.3) ลงในสมการ (ผ.4) จะได้

$$\Delta V_o = \frac{(V_o - V_o^2 / V_s)}{8 \times L \times C \times f^2} \quad (\text{ผ.5})$$

จากสมการ (ผ.3) และ (ผ.4) แทนค่า V_o จาก 20 โวลต์ ถึง 30 โวลต์ จะได้กราฟของการกระเพื่อมของกระแสในตัวเหนี่ยวนำ และการกระเพื่อมของแรงดันออกดังรูปที่

4. การคำนวณหาการกระเพื่อมของกระแสออกที่ความถี่ 100 เฮิรตซ์
 การคำนวณหาการกระเพื่อมของกระแสออกที่ความถี่ 100 เฮิรตซ์ ที่แรงดันออก 30
 โวลต์ มีรูปวงจรแบบจำลองดังรูปที่ ผ.3



รูปที่ ผ.3 วงจรแบบจำลองที่ใช้ในการคำนวณหาการกระเพื่อม
 ของกระแสออกที่ความถี่ 100 เฮิรตซ์

โดย $y = \frac{1}{(ESR + 1/sC)}$
 จากรูปวงจร

$$y_{21} v_g = [y_{22}(v_g) + y + GL] v_o$$

$$v_o = \frac{y_{21} (v_g)}{[y_{22}(v_g) + y + GL]} \cdot v_g$$

$$dv_o = \left[\frac{y_{21} (v_g)}{[y_{22}(v_g) + y + GL]} \right] dv_g$$

$$v_o = \int_{\min}^{\max} \left[\frac{y_{21} (v_g)}{[y_{22}(v_g) + y + GL]} \right] \cdot dv_g$$

โดยที่ $i_o = \frac{v_o}{R_L}$

$$i_o = \frac{1}{R_L} \int_{\min}^{\max} \left[\frac{y_{21} (v_g)}{[y_{22}(v_g) + y + GL]} \right] \cdot dv_g$$

โดยที่	$R_L = 7.5$	$V_{\min} = 100.2 \text{ V}$	$V_{\max} = 103 \text{ V}$
	$R_L = 3.75$	$V_{\min} = 97.2 \text{ V}$	$V_{\max} = 103 \text{ V}$
	$R_L = 2.5$	$V_{\min} = 94.3 \text{ V}$	$V_{\max} = 103 \text{ V}$
	$R_L = 1.875$	$V_{\min} = 91.3 \text{ V}$	$V_{\max} = 103 \text{ V}$
	$R_L = 1.5$	$V_{\min} = 88.3 \text{ V}$	$V_{\max} = 103 \text{ V}$

แทนค่าต่าง ๆ จะได้กราฟของการกระเพิ่มของกระแสออกที่ความถี่ 100 เฮิรตซ์
ดังรูปที่ 5.7

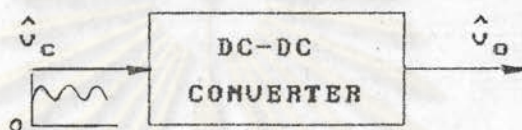


ศูนย์วิทยทรัพยากร
จุฬาลงกรณ์มหาวิทยาลัย

ภาคผนวก ค.

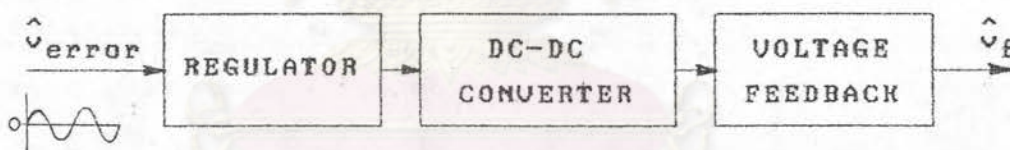
วงจรรถการทดลองหาผลตอบเชิงความถี่

1. วงจรรถการทดลองหาผลตอบเชิงความถี่ของแรงดันควบคุมกระแส (\hat{v}_c) กับแรงดันออก (\hat{v}_o)



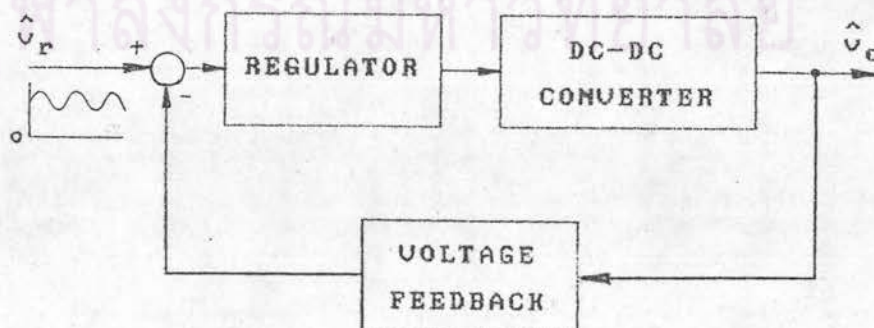
รูปที่ ผ.4 วงจรถดลองหาผลตอบเชิงความถี่ \hat{v}_o/\hat{v}_c

2. วงจรรถการทดลองหาผลตอบเชิงความถี่ของอัตราขยายวงรอบเปิดแรงดัน ($\hat{v}_f/\hat{v}_{error}$)



รูปที่ ผ.5 วงจรถดลองหาผลตอบเชิงความถี่ $\hat{v}_f/\hat{v}_{error}$

3. วงจรรถการทดลองหาผลตอบเชิงความถี่ของอัตราขยายวงรอบปิดแรงดัน (\hat{v}_o/\hat{v}_r)



รูปที่ ผ.6 วงจรถดลองหาผลตอบเชิงความถี่ \hat{v}_o/\hat{v}_r

ประวัติผู้เขียน

นายต่อศักดิ์ พ่วงมหา เกิดเมื่อวันที่ 25 กรกฎาคม พ.ศ. 2509 ที่เขตป้อมปราบฯ กรุงเทพฯ จบการศึกษาชั้นอุดมศึกษา คณะวิศวกรรมศาสตร์ จุฬาลงกรณ์มหาวิทยาลัย ได้รับปริญญาวิศวกรรมศาสตร์ สาขาวิศวกรรมไฟฟ้า ในปีการศึกษา 2530 และเข้าต่อในหลักสูตรวิศวกรรมศาสตรมหาบัณฑิต ที่จุฬาลงกรณ์มหาวิทยาลัย ปัจจุบันทำงานที่ บริษัท วรจักรอินเตอร์ เนชั่นแนล จำกัด



ศูนย์วิทยทรัพยากร
จุฬาลงกรณ์มหาวิทยาลัย